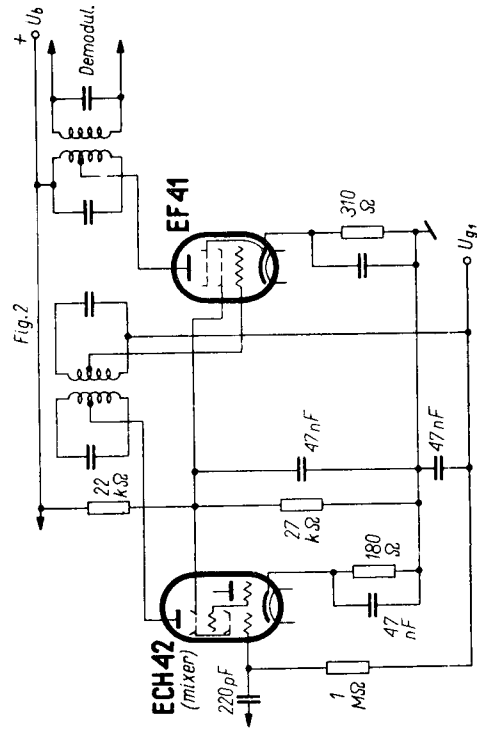
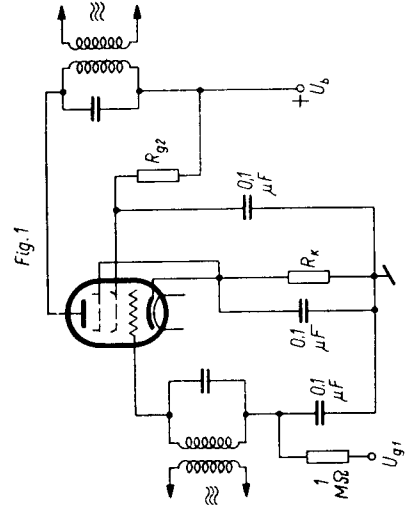
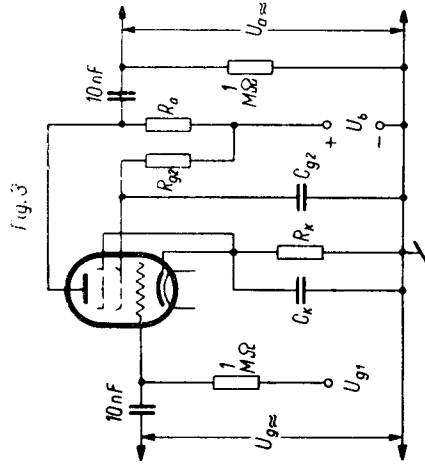


T.	Image	Image	U _f	I _f	U _a	U _b	U _{g2}	R _{g2}	U _{g1}	I _a	I _{g2}	S	R _i	R _k	U _{fik}	I _k	P _a	P _{g2}	
																			V
EF 2	eur	1	6,3	0,4	250	100	100	60	-2 ÷ -22	4,5	1,4	2,2 ÷ 0,02	1,4	330	(stat.)				
EF 9	eur	1	6,3	0,2	100	100	100	60	-2,5 ÷ -16 (-19)	6	1,7	2,2 ÷ 0,022(0,007)	0,4	325	(Fig. 1)				
EF 39	eur	2	6,3	0,2	200	250	90	50	-2,5 ÷ -32 (-39)	6	1,7	2,2 ÷ 0,022(0,0055)	0,9	325	(Fig. 2)				
EF 41	eur	3	6,3	0,2	250	250	85	75	-2,5 ÷ -39 (-49)	6	1,7	2,2 ÷ 0,022(0,0045)	1,2	310	(Fig. 1)				
EF 81	eur	4	6,3	0,2	300	250	125	100	-2 ÷ -22	5	1,5	2,2 ÷ 0,02	1,4	250	(Fig. 1)				
WV 150	MOG	5	6,3	0,2	300	100	100	50	maximum (R _{g1} = 3 MΩ; I _{g1} = 0,3 μA; U _{g1} = -1,3 V)	6	2	2,2 ÷ 0,022(0,0075)	3	300	stat.		2	0,3	
EF 11	eur	6	6,3	0,2	100	100	50	50	-2 ÷ -17 (-21)	6	2	2,2 ÷ 0,022(0,0045)	0,4	300	Fig. 1				
EF 111	Tlf	7	6,3	0,2	200	200	50	75	-1 ÷ -19 (-22)	2,5	0,9	1,3 ÷ 0,013(0,0045)	2	250	Fig. 1				
EF 13	eur	8	6,3	0,2	300	100	125	90	-2 ÷ -36 (-42)	6	2	2,2 ÷ 0,022(0,0055)	1,2	400					
EF 173	eur	12	6,3	0,2	300	250	125	67	-2 ÷ -45 (-53)	6	2	2,2 ÷ 0,022(0,0044)	3	400					
EF 22	eur	9	6,3	0,2	300	200	100	100	maximum (R _{g1} = 3 MΩ; I _{g1} = 0,3 μA; U _{g1} = -1,3 V)	1,3	0,2	1 ÷ 0,01	0,6	325					
E 3F	Phl	10	6,3	0,2	200	200	100	100	-2 ÷ -12,5	4,5	0,6	2,3 ÷ 0,015	1	300					
6 F 15	Maz	11	6,3	0,2	250	250	125	100	-2 ÷ -21	4,5	0,6	2,3 ÷ 0,015	1	300					
6 NK 7-GT	Fiv	2	6,3	0,3	100	100	100	100	maximum (R _{g1} = 3 MΩ; I _{g1} = 0,3 μA; U _{g1} = -1,3 V)	6	1,7	2,2 ÷ 0,022(0,0045)	1,2	325	(Fig. 1)		2	0,3	
12 NK 7-GT	Fiv	2	12,6	0,15	250	200	100	100	-2,5 ÷ -25	4,5	1,5	2,4 ÷ 0,024	0,9	300	(Fig. 1)		2	1	
					300	200	100	100	maximum (R _{g1} = 3 MΩ; f = 100 MHz)	7	2	2,3 ÷ 0,1 (0,023)	1,7	310	(Fig. 1)		10	2	0,3
					300	100	100	100	-2,5 ÷ -27 (-34)	4,8	1,65	2,1 ÷ 0,021	0,47	300			2	0,3	
					300	100	100	100	-2 ÷ -12,5	5	1,65	2,3 ÷ 0,023	1	300			2	0,3	
					300	100	100	100	-2 ÷ -12,5	5	1,65	2,3 ÷ 0,023	1	300			2	0,3	

T.	C _{g1k}		C _{alk}		C _{g1/a}	
	pF	pF	pF	pF	pF	pF
EF 2	7,1	7,7	6,1	6,2	0,003	0,005
EF 9	5,5	7,2	6,1	6,2	0,002	0,002
EF 11	6,1	6	6,1	6,2	0,002	0,002
EF 13	6,3	7,8	6,1	6,2	0,005	0,005
E 3 F	5,4	6,2	6,1	6,2	0,005	0,005
HF 61	4,7	8	6,1	6,2	0,002	0,002
6 F 15	5,1	6,8	6,1	6,2	0,003	0,003
6 NK 7	6	9,3	6,1	6,2	0,005	0,005





Equivalents

E 1 R/91	Phl	=	EF 9
E 13 F	Phl	=	E 3 F
HF 61	Maz	=	W 150
OM 6	Cos	=	EF 39
S 628	Tri	=	EF 2
VF 2	Dar	=	EF 2
WE 16	Tlf	=	EF 11
W 143	MOG	=	EF 22
W 147	MOG	=	EF 39
6 BH 5	amer	=	EF 81
6 CJ 5	amer	=	EF 41
6 F 16	Maz	=	W 150
6 M 7-MG	eur	=	EF 39
7 F 16	Maz	=	EF 41
62 VP	Cos	=	W 150

EF 9/EF 22 Fig. 3

U_b V	R_a MΩ	R_{g2} MΩ	R_k kΩ	U_{g1} V	I_a mA	I_{g2} mA	U_{g2} V	U_{a2} V	μ U_{a2}/U_{g2}	h %
250	0,1	0,4	1	-10	1,6	0,45	0,035 ÷ 0,118	3 ÷ 10	85	0,8 ÷ 2,5
					0,92	0,28	0,15 ÷ 0,49	3 ÷ 10	20	1,2 ÷ 4,1
250	0,2	0,8	1,75	-25	0,87	0,26	0,55 ÷ 1,83	3 ÷ 10	5,5	2,8 ÷ 9,5
					0,55	0,17	0,028 ÷ 0,094	3 ÷ 10	106	0,8 ÷ 2,7
250	0,3	1	2,4	-20	0,17	0,05	0,13 ÷ 0,43	3 ÷ 10	23	1,1 ÷ 3,7
					0,17	0,05	0,45 ÷ 1,46	3 ÷ 10	6,7	2,7 ÷ 8,8

EF 11 Fig. 3

U_b V	R_a MΩ	R_{g2} MΩ	R_k kΩ	U_{g1} V	I_a mA	I_{g2} mA	U_{g2} V	U_{a2} V	μ U_{a2}/U_{g2}	h %
100	0,05	0,2	0,75	-10	1	0,35	0,065	3	45	5
100	0,3	1	3	-10	0,26	0,1	0,045	3	70	4,5
200	0,05	0,2	0,75	-20	2	0,7	0,06 ÷ 0,1	3 ÷ 5	50	3 ÷ 4
200	0,3	1	3	-20	0,48	0,16	0,037 ÷ 0,06	3 ÷ 5	80	2,5 ÷ 4
250	0,05	0,2	0,6	-20	2,6	0,9	0,05 ÷ 0,08	3 ÷ 5	60	1,5 ÷ 2
250	0,3	1	2,4	-20	0,64	0,2	0,03 ÷ 0,05	3 ÷ 5	100	0,9 ÷ 1,7

